

УДК 518.517.0

ПРОБЛЕМА ЖЕСТКОСТИ ПРИ МОДЕЛИРОВАНИИ ВОЛНОВЫХ ТЕЧЕНИЙ ГЕТЕРОГЕННЫХ СРЕД С ТРЕХТЕМПЕРАТУРНОЙ СХемой МЕЖФАЗНОГО ТЕПЛО- И МАССООБМЕНА

Д. В. Садин

Военный инженерно-космический университет им. А. Ф. Можайского,
197082 Санкт-Петербург

При численном моделировании волновых течений гетерогенных сред с трехтемпературной схемой межфазного тепло- и массообмена возникает проблема жесткости уравнений. Для описания данных процессов построена дискретная модель повышенной устойчивости. Как показали тестовые расчеты взаимодействия ударной волны с ограниченным слоем смеси газа и капель, в предположении дискретной модели в широком диапазоне исходных данных, условия устойчивости не зависят от интенсивности межфазных взаимодействий (К-устойчивость).

Введение. Разработка новых технологий и систем защиты от интенсивных ударно-волновых, тепловых, вибрационных воздействий с использованием гетерогенных сред требует углубленного исследования процессов движения смесей, претерпевающих фазовые переходы, с учетом эффектов скоростной и температурной неравновесности фаз. Как правило, решение указанных задач может быть найдено лишь численно на основе дискретных моделей (разностных схем). Исследованию проблемы численного моделирования волновых течений гетерогенных сред посвящены работы [1, 2] и др. Разработаны схемы расчета волновых течений газа с твердыми частицами и каплями [3, 4]. Особенностью математического моделирования волновых течений гетерогенных сред является большее (например, по сравнению с задачами газовой динамики) количество уравнений движения и замыкающих соотношений, что повышает требования к мощности компьютера. Поэтому представляется актуальной разработка экономичных методов численного решения данного класса задач.

Как показывают исследования [5–7], при расчете фильтрации газа в пористой среде и волновых течений смеси газа и твердых частиц, когда интенсивность межфазных взаимодействий (трение, теплообмен) велики, необходимо существенно ограничивать шаг по времени. Следует отметить, что критерий Куранта (см., например, [6]) накладывает менее жесткие условия на допустимый шаг интегрирования.

Подобная проблема возникает при численном интегрировании некоторых типов обыкновенных дифференциальных уравнений классическими методами [8], когда в векторе решения имеются компоненты, характеризующиеся существенно различными временными масштабами. Для указанного типа обыкновенных дифференциальных уравнений введен термин “жесткость” и показано, что для их численного решения целесообразно использовать неявные методы.

В указанном смысле широкий класс задач движения гетерогенных сред описывается жесткими уравнениями в частных производных, например в случаях, когда характерные времена выравнивания скоростей и температур фаз много меньше времени распростране-

ния возмущения на расстояние, равное характерному размеру сетки. Применение дискретных моделей с явной аппроксимацией пространственных производных и неявным учетом источниковых слагаемых [5–7] позволяет повысить запас устойчивости в несколько раз, а для некоторых классов течений — на порядок и более, что подтверждается многочисленными расчетами для различных течений смесей газа и твердых частиц. Важным свойством таких дискретных моделей является К-устойчивость (условия устойчивости схемы в широком диапазоне исходных данных определяются только критерием Куранта и не зависят от интенсивности межфазных взаимодействий). Это свойство особенно важно при решении многомерных задач, когда заранее неизвестно место в расчетной области, где решение становится неустойчивым. Например при расчете по схеме, не являющейся К-устойчивой, через несколько тысяч шагов по времени возможно проявление неустойчивости из-за резкого возрастания интенсивности межфазного обмена, что приводит к необходимости повторного расчета с меньшим шагом по времени.

Проблема жесткости возникает и при численном моделировании волновых течений смеси газа и капель с учетом фазовых переходов, особенно при использовании трехтемпературной схемы межфазного тепло- и массообмена [1], когда поле температур в окрестности капли характеризуется значениями температуры газа T_1 , капли T_2 и межфазной границы T_Σ . Потоки тепла в единице объема смеси от поверхности капель в газ и жидкость задаются выражением

$$Q_{\Sigma i} = 1,5(\alpha_2/r^2)\text{Nu}_i\lambda_i(T_\Sigma - T_i), \quad i = 1, 2. \quad (1)$$

Здесь α_i — объемные доли фаз; r — радиус капель; λ_i , Nu_i — коэффициент теплопроводности i -й фазы и число Нуссельта ($\text{Nu}_2 = 10$ [1], значение Nu_1 определяется в эксперименте [9]). Интенсивность массообмена в единице объема J_{12} определяется из соотношения

$$J_{12}l(p_v) = Q_{\Sigma 1} + Q_{\Sigma 2}, \quad (2)$$

где $l(p_v)$ — теплота парообразования; p_v — парциальное давление пара.

Механизм возникновения неустойчивости при расчете в рамках трехтемпературной схемы можно объяснить следующим образом. Пусть на некотором шаге по времени τ происходит испарение капель ($J_{12} < 0$), что приводит к росту плотности пара ρ_{1v} и повышению парциального давления p_v . В предположении равновесия фаз на межфазной границе $T_\Sigma = T_s(p_v)$ средняя температура на ней также увеличивается. Следовательно, если величина τ не является малой, то в соответствии с (1) и (2) процесс испарения сменяется процессом конденсации, и в дальнейшем амплитуды колебаний параметров становятся неограниченными.

В настоящей работе на основе концепции жесткости предпринята попытка построения К-устойчивой безытерационной дискретной модели волнового движения смеси газа с каплями с учетом различия скоростей фаз в рамках трехтемпературной схемы тепло- и массообмена.

Основные уравнения. Рассмотрим двухфазную дисперсную смесь капель с несущей двухкомпонентной фазой (инертным газом и паром). Примем известные в механике бесстолкновительной монодисперсной смеси допущения [1]: размеры капель во много раз больше молекулярно-кинетических размеров и во много раз меньше расстояний, на которых осредненные параметры смеси меняются существенно; смесь монодисперсная; хаотическим и внутренним движением (вращением и деформацией) дисперсных частиц можно пренебречь; процессы столкновений, дробления, слипания и образования новых капель отсутствуют; вязкость и теплопроводность фаз проявляются лишь в процессах межфазного взаимодействия; конденсированная фаза недеформированная; компоненты несущей фазы (инертный газ и пар) не вступают в химические реакции между собой и удовлетворяют

условиям аддитивности; действием сил тяжести пренебрегается. С учетом принятых допущений и инерционных эффектов при обтекании капель система уравнений сохранения массы, импульса и энергии фаз и смеси примет вид

$$\begin{aligned} \frac{\partial \rho_{1g}}{\partial t} + \nabla \cdot (\rho_{1g} \mathbf{v}_1) &= 0, & \frac{\partial \rho_{1v}}{\partial t} + \nabla \cdot (\rho_{1v} \mathbf{v}_1) &= -J_{12}, \\ \frac{\partial \rho_2}{\partial t} + \nabla \cdot (\rho_2 \mathbf{v}_2) &= J_{12}, & \frac{\partial \rho_2 r}{\partial t} + \nabla \cdot (\rho_2 r \mathbf{v}_2) &= \frac{4}{3} r J_{12}, \\ \frac{\partial \rho_1 \mathbf{v}_1}{\partial t} + \nabla \cdot (\rho_1 \mathbf{v}_1 \mathbf{v}_1) &= -\beta_1 \nabla p + J_{12} \left(\beta_1 \mathbf{w}_{12} - \beta_2 \frac{\alpha_2}{2} \frac{\rho_1}{\rho_2} \mathbf{w}_{12} - \mathbf{v}_1 \right) - \alpha_1 \beta_2 \mathbf{F}_\mu, \\ \frac{\partial \rho_2 \mathbf{v}_2}{\partial t} + \nabla \cdot (\rho_2 \mathbf{v}_2 \mathbf{v}_2) &= -(1 - \beta_1) \nabla p + J_{12} \left((1 - \beta_1) \mathbf{w}_{12} + \beta_2 \frac{\alpha_2}{2} \frac{\rho_1}{\rho_2} \mathbf{w}_{12} + \mathbf{v}_2 \right) + \alpha_1 \beta_2 \mathbf{F}_\mu, \quad (3) \\ \frac{\partial \rho_2 u_2}{\partial t} + \nabla \cdot (\rho_2 u_2 \mathbf{v}_2) &= Q_{\Sigma 2} + J_{12} u_{2\Sigma}, \\ \frac{\partial}{\partial t} (\rho_1 E_1 + \rho_2 E_2) + \nabla \cdot (\rho_1 E_1 \mathbf{v}_1 + \rho_2 E_2 \mathbf{v}_2) + \nabla \cdot (p(\alpha_1 \mathbf{v}_1 + \alpha_2 \mathbf{v}_2)) &= 0, \\ \beta_1 &= \frac{\alpha_1 (2 + \chi_m \rho_1^0 / \rho_2^0)}{2 + \chi_m (\alpha_2 + \alpha_1 \rho_1^0 / \rho_2^0)}, & \beta_2 &= \frac{2}{2 + \chi_m (\alpha_2 + \alpha_1 \rho_1^0 / \rho_2^0)}. \end{aligned}$$

Здесь индексы g, v соответствуют параметрам инертного и парового компонентов газа, индекс Σ — параметрам поверхностной фазы (Σ -фазы); E_i, u_i — удельные полная и внутренняя энергии i -й фазы, p — давление; \mathbf{F}_μ — интенсивность вязкого силового межфазного взаимодействия; χ_m — коэффициент, учитывающий влияние неоднородности и несферичности капель на силу присоединенных масс.

Сила вязкого трения, действующая со стороны газа на конденсированную фазу в единице объема, задается в виде [1]

$$\mathbf{F}_\mu = 0,75 \frac{\alpha_2}{r} C_\mu \frac{\rho_1^0 w_{12}}{2} \frac{\mathbf{w}_{12}}{w_{12}}, \quad C_\mu = C_\mu(\text{Re}_{12}, \alpha_2), \quad \text{Re}_{12} = \frac{2r \rho_1^0 w_{12}}{\mu_1}, \quad \mathbf{w}_{12} = \mathbf{v}_1 - \mathbf{v}_2,$$

где Re_{12} — число Рейнольдса относительного движения фаз, C_μ — коэффициент трения, определяемый эмпирически [10, 11].

Система уравнений сохранения (3) замыкается уравнениями состояния калорически совершенных газовых компонентов

$$\begin{aligned} p_g &= \rho_{1g}^0 R_{1g} T_1, & p_v &= \rho_{1v}^0 R_{1v} T_1, & p &= p_g + p_v, \\ \rho_1^0 &= \rho_{1g}^0 + \rho_{1v}^0, & k_{1g} &= \rho_{1g}^0 / \rho_1^0, & k_{1v} &= \rho_{1v}^0 / \rho_1^0 \quad (k_{1g} + k_{1v} = 1), \quad (4) \\ u_1 &= k_{1g} u_{1g} + k_{1v} u_{1v}, & \lambda_1 &= \lambda_1(k_{1g}, T_1), & i_g &= c_g(T_1 - T^*) + i_g^*, & i_v &= c_v(T_1 - T^*) + i_v^*. \end{aligned}$$

Здесь p_g, R_{1g}, R_{1v} — парциальное давление инертного газа и постоянные газовых компонентов; $\rho_{1g}^0, \rho_{1v}^0, k_{1g}, k_{1v}, u_{1g}, u_{1v}$ — истинные плотности, массовые доли и внутренние энергии единицы массы компонентов; c_g, c_v — теплоемкости инертного газа и пара при постоянном давлении; индекс “*” соответствует фиксированным параметрам; i_g — энтальпия газового компонента. Энтальпия парового компонента i_v связана с энтальпией конденсированной фазы i_l условием нормировки

$$i_v^* - i_l^* = l(p_v^*) + (c_l - c_v)(T_s(p_v^*) - T^*),$$

где c_l — теплоемкость жидкости.

Дискретная модель. При построении дискретной модели используем расщепление по физическим процессам [12], при котором все межфазные взаимодействия рассчитываются на первом этапе. Как показывает предварительный анализ, для “быстрых” компонентов решения необходим неявный учет источниковых слагаемых. В соответствии с (3) локальное изменение плотности пара определяется интенсивностью фазового перехода в единице объема

$$(\tilde{\rho}_{1v} - \rho_{1v}^k)/\tau = -\tilde{J}_{12} \quad (5)$$

(k — номер шага по времени; знак “ \sim ” соответствует величинам, рассчитанным на первом этапе). Уравнение (5) с учетом соотношений для тепло- и массообмена (1), (2) может быть записано в виде

$$\frac{\tilde{\rho}_{1v} - \rho_{1v}^k}{\tau} = -\frac{(\alpha_{s1}^k + \alpha_{s2}^k)}{l(p_v^k)} \tilde{T}_s + \frac{\alpha_{s1}^k}{l(p_v^k)} T_1^k + \frac{\alpha_{s2}^k}{l(p_v^k)} T_2^k, \quad \alpha_{si} = 1,5 \frac{\alpha_2}{r^2} \text{Nu}_i \lambda_i, \quad (6)$$

где α_{si} — коэффициенты теплообмена между Σ -фазой и i -й фазой в единице объема.

Для безытерационного вычисления плотности пара в (6) можно линеаризовать функцию $T_s(p_v)$, как это сделано в [6] для межфазного трения:

$$\tilde{T}_s = T_s^k + \left(\frac{\partial T_s}{\partial p_v} \right)^k (\tilde{p}_v - p_v^k). \quad (7)$$

Температура на линии насыщения обычно представляется в виде полинома $T_s^k = \sum_{j=0}^n c_j (p_v^k)^j$, тогда $\tilde{T}_s = c'_0 + \tilde{p}_v \sum_{j=1}^n c'_j (p_v^k)^{j-1}$, $c'_0 = c_0 - \sum_{j=1}^n (j-1)c_j (p_v^k)^j$, $c'_j = j c_j$.

Наконец, с учетом уравнения состояния парового компонента (4) соотношение для определения предварительного значения плотности пара (6) записывается в виде

$$\tilde{\rho}_{1v} = \left(\rho_{1v}^k - \tau \frac{\alpha_{s1}^k + \alpha_{s2}^k}{l(p_v^k)} c'_0 + \tau \left(\frac{\alpha_{s1}^k}{l(p_v^k)} T_1^k + \frac{\alpha_{s2}^k}{l(p_v^k)} T_2^k \right) \right) / \left(1 + \tau \frac{\alpha_{s1}^k + \alpha_{s2}^k}{l(p_v^k)} \frac{R_v T_1^k}{\alpha_1^k} \sum_{j=1}^n c'_j (p_v^k)^{j-1} \right).$$

Применяя неявный метод расчета межфазных взаимодействий для других уравнений системы (3), на первом этапе расчета имеем

$$\begin{aligned} (\tilde{\rho}_{1v} - \rho_{1v}^k)/\tau &= -\tilde{J}_{12}, & (\tilde{\rho}_2 - \rho_2^k)/\tau &= \tilde{J}_{12}, \\ \frac{\tilde{\rho}_2 \tilde{r} - \rho_2^k r^k}{\tau} &= \frac{4}{3} \tilde{J}_{12} \tilde{r} \quad \text{при} \quad \tilde{J}_{12} < 0, & \frac{\tilde{\rho}_2 \tilde{r} - \rho_2^k r^k}{\tau} &= \frac{4}{3} \tilde{J}_{12} r^k \quad \text{при} \quad \tilde{J}_{12} > 0, \\ \frac{\tilde{\rho}_1 \tilde{\mathbf{v}}_1 - \rho_1^k \mathbf{v}_1^k}{\tau} &= -\beta_1^k \nabla p^k + J_{12}^k \left(\beta_1^k \mathbf{w}_{12}^k - \beta_2^k \frac{\alpha_2^k}{2} \frac{\rho_1^k}{\rho_2^k} \mathbf{w}_{12}^k - \mathbf{v}_1^k \right) - \alpha_1^k \beta_2^k \tilde{\mathbf{F}}_\mu (\tilde{\mathbf{v}}_1 - \mathbf{v}_2^k), \end{aligned} \quad (8)$$

$$\frac{\tilde{\rho}_2 \tilde{\mathbf{v}}_2 - \rho_2^k \mathbf{v}_2^k}{\tau} = -(1 - \beta_1^k) \nabla p^k + J_{12}^k \left((1 - \beta_1^k) \mathbf{w}_{12}^k + \beta_2^k \frac{\alpha_2^k}{2} \frac{\rho_1^k}{\rho_2^k} \mathbf{w}_{12}^k + \mathbf{v}_2^k \right) + \alpha_1^k \beta_2^k \tilde{\mathbf{F}}_\mu (\tilde{\mathbf{v}}_1 - \mathbf{v}_2^k),$$

$$(\tilde{\rho}_2 \tilde{u}_2 - \rho_2^k u_2^k)/\tau = \tilde{Q}_{\Sigma 2} (\tilde{T}_s - \tilde{T}_2) + \tilde{J}_{12} u_{2\Sigma}^k, \quad \tilde{E}_2 = \tilde{u}_2 + (\tilde{\mathbf{v}}_2)^2/2,$$

$$\frac{(\tilde{\rho}_1 \tilde{E}_1 + 0,5 \tilde{\rho}_2 \tilde{\mathbf{v}}_2) - (\rho_1^k E_1^k + 0,5 \rho_2^k \mathbf{v}_2^k)}{\tau} = \tilde{Q}_{\Sigma 1} (\tilde{T}_s - \tilde{T}_1) - \tilde{J}_{12} (l(p_v^k) + u_{2\Sigma}^k) - \nabla \cdot (p^k (\alpha_1^k \mathbf{v}_1^k + \alpha_2^k \mathbf{v}_2^k)),$$

$$\tilde{T}_2 = (\tilde{u}_2 - u_2^*)/c_2 + T^*, \quad \tilde{T}_1 = (\tilde{E}_1 - \tilde{\mathbf{v}}_1^2/2 - k_{1v} u_{1v}^* - k_{1g} u_{1g}^*)/c_{1v} + T_1^*,$$

где c_{1v} — теплоемкость двухкомпонентного газа при постоянном объеме.

На втором этапе находятся окончательные значения искомых параметров с учетом потоков масс, импульсов и энергий фаз через границы ячеек (стандартным образом), принимая во внимание их направления [12]:

$$\begin{aligned}
 (\rho_{1g}^{k+1} - \rho_{1g}^k)/\tau + \nabla \cdot (\rho_{1g}^k \tilde{\mathbf{v}}_1) &= 0, & (\rho_{1v}^{k+1} - \tilde{\rho}_{1v})/\tau + \nabla \cdot (\tilde{\rho}_{1g} \tilde{\mathbf{v}}_1) &= 0, \\
 (\rho_2^{k+1} - \tilde{\rho}_2)/\tau + \nabla \cdot (\tilde{\rho}_2 \tilde{\mathbf{v}}_2) &= 0, & (\rho_2^{k+1} r^{k+1} - \tilde{\rho}_2 \tilde{r})/\tau + \nabla \cdot (\tilde{\rho}_2 \tilde{r} \tilde{\mathbf{v}}_2) &= 0, \\
 (\rho_1^{k+1} \mathbf{v}_1^{k+1} - \tilde{\rho}_1 \tilde{\mathbf{v}}_1)/\tau + \nabla \cdot (\tilde{\rho}_1 \tilde{\mathbf{v}}_1 \tilde{\mathbf{v}}_1) &= 0, & (\rho_2^{k+1} \mathbf{v}_2^{k+1} - \tilde{\rho}_2 \tilde{\mathbf{v}}_2)/\tau + \nabla \cdot (\tilde{\rho}_2 \tilde{\mathbf{v}}_2 \tilde{\mathbf{v}}_2) &= 0, \\
 (\rho_2^{k+1} u_2^{k+1} - \tilde{\rho}_2 \tilde{u}_2)/\tau + \nabla \cdot (\tilde{\rho}_2 \tilde{u}_2 \tilde{\mathbf{v}}_2) &= 0, \\
 (\rho_1^{k+1} E_1^{k+1} + \rho_2^{k+1} E_2^{k+1} - (\tilde{\rho}_1 \tilde{E}_1 + \tilde{\rho}_2 \tilde{E}_2))/\tau + \nabla \cdot (\tilde{\rho}_1 \tilde{E}_1 \tilde{\mathbf{v}}_1 + \tilde{\rho}_2 \tilde{E}_2 \tilde{\mathbf{v}}_2) &= 0.
 \end{aligned} \tag{9}$$

Тестовые расчеты. Предложенная схема тестировалась на решении одномерной задачи взаимодействия ударной волны прямоугольного профиля с ограниченным слоем смеси воздуха и капель воды, находящейся в начальный момент в условиях фазового равновесия.

Исходные данные следующие: число Маха падающей волны $1 \leq M_0 \leq 4$, начальная объемная доля капель воды в слое $\alpha_{20} \leq 0,1$, начальный радиус капель $r_0 \geq 10$ мкм, $T_{10} = T_{20} = T_{s0} = 293$ К, $p_0 = 10^5$ Па. Свойства воды и водяного пара взяты из таблиц в [13] и аппроксимированы полиномами пятой степени.

Расчеты выполнены по сквозной схеме, при этом в случае $\rho_2 < 10^{-6}$ кг/м³, $r < 10^{-9}$ м для уменьшения объема вычислений из алгоритма исключались расчеты межфазных взаимодействий, не оказывающих существенного влияния на точность решения. Равномерная сетка содержала 200 ячеек с размерами $h \leq 0,01$ м. В ячейках 81–120 размещался слой газозвеси с параметрами, указанными выше. На левой границе заданы краевые условия в виде параметров падающей ударной волны, на правой — “мягкие” граничные условия (экстраполяция параметров изнутри расчетной области). Шаг по времени выбирался из условия

$$\tau = \text{Ku} h / \max_j |v_{1,j} + a_{1,j}|, \quad \text{Ku} \leq 1, \tag{10}$$

где Ku — число Куранта; a_1 — скорость звука в газе; j — номер ячейки.

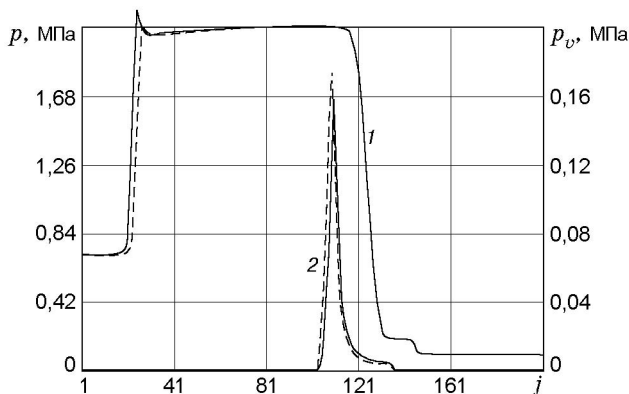


Рис. 1

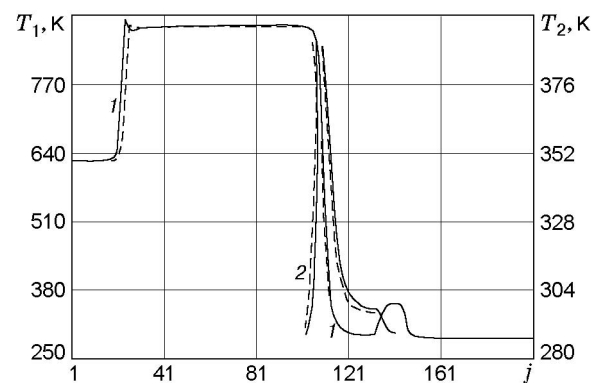


Рис. 2

Рис. 1. Профили давления газа (1) и парциального давления пара (2): сплошные кривые — расчет по схеме (8), (9); штриховые — расчет по схеме [3]

Рис. 2. Профили температуры газа (1) и капель (2): сплошные кривые — расчет по схеме (8), (9); штриховые — расчет по схеме [3]

Как показали тестовые расчеты, в исследованном диапазоне предложенная дискретная модель (8), (9) является К-устойчивой. Запас устойчивости определяется только критерием Куранта (10) и не зависит от интенсивности межфазных взаимодействий. Число Куранта, при котором расчет устойчив в рамках безытерационной дискретной модели (8), (9), на порядок выше, чем число Куранта в схеме расчета с учетом межфазного обмена в явном виде [3]. Например, при $M_0 = 2,5$, $\alpha_{20} = 0,1$, $r_0 = 10$ мкм, $h = 0,01$ м схема [3] неустойчива в диапазоне $0,07 \leq Ku_2 \leq 1$. Как показывает анализ расчетов, неустойчивость связана с сильными колебаниями температуры межфазной поверхности T_s на фронте прошедшей в слой ударной волны и приводит к неограниченному возрастанию решения. При $Ku_2 \leq 0,07$ решение возможно с ограниченными осцилляциями большого размаха, которые практически исчезают при $Ku_2 \simeq 0,02$. Предложенная дискретная модель (8), (9) обеспечивает устойчивый расчет при $Ku_1 = 1$.

На рис. 1, 2 приведены результаты расчетов по схеме (8), (9) и явной схеме [3] при $Ku_1 = 1$, $Ku_2 = 0,02$, $t = 0,004$ с. Уменьшение шага по времени, определяемого числом Куранта $Ku_1 \leq 0,2$, приводит к тому, что оба решения практически совпадают.

ЛИТЕРАТУРА

1. **Нигматулин Р. И.** Динамика многофазных сред. М.: Наука, 1987. Ч. 1.
2. **Ивандаев А. И., Кутушев А. Г., Нигматулин Р. И.** Газовая динамика многофазных сред. Ударные и детонационные волны в газовзвесах М.: ВИНТИ, 1981. С. 209-287. (Итоги науки и техники. Сер. Механика жидкости и газа; Т. 16).
3. **Губайдуллин А. А., Ивандаев А. И., Нигматулин Р. И.** Модифицированный метод крупных частиц для расчета нестационарных волновых процессов в многофазных дисперсных средах // Журн. вычисл. математики и мат. физики. 1977. Т. 17, № 6. С. 1531–1544.
4. **Ивандаев А. И., Кутушев А. Г.** Численное моделирование нестационарных волновых течений газовзвесей с выделением границ двухфазных областей и контактных разрывов в несущем газе // Численные методы механики сплошной среды. 1983. Т. 14, № 6. С. 58–82.
5. **Садин Д. В.** Модифицированный метод крупных частиц для расчета нестационарных течений газа в пористой среде // Журн. вычисл. математики и мат. физики. 1996. Т. 36, № 10. С. 158–164.
6. **Садин Д. В.** Метод расчета волновых гетерогенных течений с интенсивным межфазным взаимодействием // Журн. вычисл. математики и мат. физики. 1998. Т. 38, № 6. С. 1033–1039.
7. **Садин Д. В.** О сходимости одного класса разностных схем для уравнений нестационарного движения газа в дисперсной среде // Журн. вычисл. математики и мат. физики. 1998. Т. 38, № 9. С. 1572–1577.
8. **Curtiss C. F., Hirschfelder J. O.** Integration of stiff equation // Proc. Nat. Acad. Sci. USA. 1952. V. 38. P. 235–243.
9. **Чудновский А. Ф.** Теплообмен в дисперсных средах. М.: Гостехтеоретиздат, 1954.
10. **Стернин Л. Е., Маслов Б. П., Шрайбер А. А., Подвысоцкий А. М.** Двухфазные моно- и полидисперсные течения газа с частицами. М.: Машиностроение, 1980.
11. **Ergun S.** Fluid flow through packed columns // Chem. Engng Progress. 1952. V. 48, N 2. P. 89–94.
12. **Белоцерковский О. М.** Численное моделирование в механике сплошных сред. М.: Физ.-мат. лит., 1994.
13. **Кириллов П. Л., Юрьев Ю. С., Бобков В. П.** Справочник по теплогидравлическим расчетам (ядерные реакторы, теплообменники, парогенераторы). М.: Энергоатомиздат, 1990.

*Поступила в редакцию 28/V 2001 г.,
в окончательном варианте — 23/VIII 2001 г.*